

**UNIVERSITATEA BABEȘ-BOLYAI CLUJ-NAPOCA  
FACULTATEA DE MATEMATICĂ ȘI INFORMATICĂ  
SPECIALIZAREA INFORMATICĂ ROMÂNĂ**

## **LUCRARE DE LICENȚĂ**

**AI Suport pentru design vestimentar**

**Conducător științific  
Lect. dr. Mihoc Tudor**

*Absolvent  
Gherasim Georgian*

2022

---

## ABSTRACT

---

The first chapter entitled 'Machine learning' aims to present the model used in the development of the application, more precisely the virtual test of a clothing item, thus making a complex analysis of the algorithm used. Is presented in as much detail as possible global appearance flow based try-on model, the techniques used but also the results obtained in comparison with the other existing models in the literature.

In the second chapter are presented the technologies used in the development process both on the backend and on the frontend.

The third chapter represents the application development process. Exactly like the previous chapter, we structured in two parts: a part for the client in which the elements of the graphical interface are illustrated by images and the one of the server in which the communication between the server and the http requests are presented.



# Cuprins

<b>1</b>	<b>Introducere</b>	<b>1</b>
<b>2</b>	<b>Machine learning</b>	<b>3</b>
2.1	Definirea problemei . . . . .	3
2.2	Preantrenarea unui model bazat pe analizator . . . . .	6
2.3	Extragerea caracteristicilor . . . . .	11
2.4	Estimarea fluxului de aspect bazat pe stil . . . . .	11
2.5	Obiective de învățare . . . . .	13
2.6	Experimente si rezultate . . . . .	14
<b>3</b>	<b>Tehnologii folosite</b>	<b>19</b>
3.1	Backend . . . . .	19
3.1.1	Python,MongoDB,Flask . . . . .	19
3.2	FrontEnd . . . . .	22
3.2.1	React,Typescript,MaterialUI . . . . .	22
<b>4</b>	<b>Dezvoltarea aplicației</b>	<b>24</b>
4.1	Dezvoltarea aplicației client . . . . .	24
4.1.1	Interfața autentificare si înregistrare . . . . .	25
4.1.2	Interfața home page si vizualizare produse . . . . .	27
4.1.3	Interfața virtual dressing . . . . .	29
4.2	Dezvoltarea aplicatiei server . . . . .	30
4.2.1	Cererile HTTP . . . . .	31
4.2.2	Baza de date . . . . .	32
<b>5</b>	<b>Concluzii</b>	<b>35</b>
	<b>Bibliografie</b>	<b>36</b>

# Capitolul 1

## Introducere

Primul capitol intitulat „Machine learning” își propune să prezinte modelul utilizat în dezvoltarea aplicației, mai exact testarea virtuală a unui articol vestimentar, făcând astfel o analiză complexă a algoritmului utilizat.

În al doilea capitol sunt prezentate tehnologiile utilizate în dezvoltarea backend-ului, cât și a frontend-ului.

Al treilea capitol reprezintă procesul de dezvoltare a aplicației. Exact ca în capitolul anterior, am structurat acest capitol în două părți: o parte pentru client în care elementele interfeței grafice sunt ilustrate prin imagini și cea a serverului în care sunt prezentate comunicarea dintre server și baza de date, cererile http și secvențe de cod.

### Formularea problemei

AI Suport pentru design vestimentar este o aplicație web care poate fi utilizată cu scopul de a proba produse vestimentare cât mai sigur și mai rapid posibil. Aplicația are ca scop probarea îmbrăcămintei în format digital și alegerea acesteia în funcție de stil/preferințe fără a necesita deplasarea inutilă la magazin cât reducerea cumpărării unei cantități necesare de haine. Utilizatorul poate selecta de pe site îmbrăcămintea dorită apoi încarcă o imagine cu acesta, urmând apoi procesarea de către server a celor două imagini și rezultatul aferent cu cea mai bună potrivire a îmbrăcămintei pe corpul persoanei selectate.

### Motivație

În ziua de astăzi ce porți te reprezintă. Hainele poartă un rol foarte important în viața noastră de zi cu zi, în fiecare zi ne îmbracăm, unii dintre noi pierdem foarte mult timp doar gândindu-ne ce ne-ar sta bine și m-am gândit să vin cu o aplicație care să vină în ajutorul tuturor, un suport pentru design vestimentar folo-

sind inteligență artificială.

## Arhitectura si implementare

AI Suport pentru design vestimentar este o aplicație client-server destinată persoanelor dornice să-și schimbe stilul vestimentar și să reducă deplasările inutile în scopul achiziționării de produse vestimentare. Utilizatorul trebuie să-si selecteze îmbrăcămintea dorită de pe site și încarce o poza cu corpul/silueta acestuia.

Algoritmul de inteligență artificială adaptează ținuta pe corpul imaginii alese de către utilizator astfel încât să aibă o experiență cât mai apropiată de realitate. Utilizatorul poate decide dacă dorește să achiziționeze articolul selectat adaugandu-l în coșul de cumpărături.

La începerea proiectului am utilizat React, o librerie javascript pentru construirea de interfețe grafice pe partea de client. ReactJS ne permite să creăm repede un frontend scalabil și ușor de utilizat pentru aplicațiile web. Pe partea de server atât pentru antrenarea ai-ului cât și pentru interacțiunea bazei de date cu clientul vom utiliza python.

Modelul client-server este o structură sau arhitectură care partajează procesarea între furnizorii de servicii, numiți servere și elementele care solicită servicii, numite clienți. Clienții și serverele comunică printr-o rețea de calculatoare, de obicei prin Internet, având suporturi hardware diferite, dar pot rula și pe același sistem fizic. Un server (fizic) rulează unul sau mai multe programe server, care partajează resursele existente cu clienții. Clientul nu partajează niciuna dintre resursele proprii, ci apelează la resursele serverului prin funcțiile server. Pentru comunicarea între client server am folosit flask, un micro web framework scris în python pentru crearea api-urilor.

# Capitolul 2

## Machine learning

### 2.1 Definirea problemei

Proba virtuală bazată pe imagini urmărește să încadreze o îmbrăcăminte dintr-un magazin într-o imagine a unei persoane îmbrăcate. Pentru a realiza acest lucru, un pas cheie este deformarea îmbrăcăminteii care alinează spațial îmbrăcăminteaa țintă cu partile corespunzătoare ale corpului din imaginea persoanei. Metodele anterioare folosite de alte persoane adopta de obicei un model local de estimare al fluxului de aspect. Pot exista probleme la pozitii dificile ale corpului și dezechilibre mari între imaginile cu persoana si hainele.

Pentru a depăși această limitare, algoritmul propus folosește un model global de estimare a fluxului de aspect. Pentru început pentru estimarea fluxului de aspect este adoptată o arhitectura bazată pe StyleGAN. Acest lucru ne va permite să profităm de vectorul global de stil pentru a codifica întreaga imagine și a face față provocărilor de mai sus.

Pentru a ghida generatorul de flux StyleGAN, pentru a acorda mai multă atenție deformării locale a îmbrăcăminteii, este introdus un modul de rafinare a fluxului pentru a adăuga contextul local. Rezultatele experimentelor acestui model pe un benchmark virtual tryon arată ca metoda aceasta realizează o nouă performanță de ultimă generație.

Tranziția de la comerțul offline în magazin la comerțul electronic a fost accelerată de blocarea cauzată recent de pandemie. În 2020, vânzările de comerț electronic la nivel global s-au ridicat la 4.28 trilioane de dolari și se estimează că va crește la 5.4 trilioane de dolari în 2022. Cu toate acestea când vine vorba de moda spre deosebire de offline, cumpărătorii online nu trăiesc experiența probării unui articol vestimentar

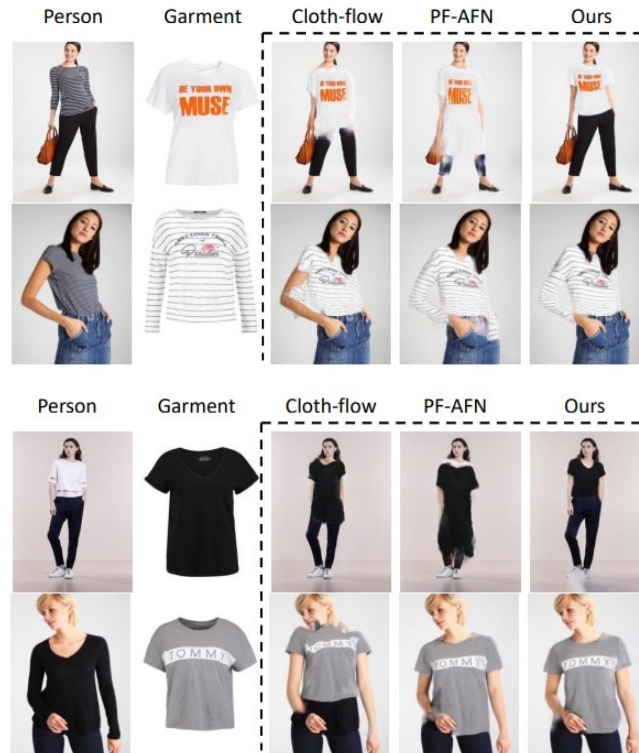


Figura 2.1: Diferențele dintre modelul bazat pe flux de aspect fata de metodele SOTA existente [HSX22]

in vestiar

Pentru a reduce costul de returnare pentru comerciantii online si pentru a oferi cumparatorilor aceeasi experienta offline si online, proba virtuala bazata pe imagini (VTON) a fost studiata intens recent.[YGL21]

Un model VTON își propune sa încadreze o îmbracaminte din magazin in imaginea unei persoane. Un obiectiv cheie al unui model VTON este alinierea imbracamintei din magazin cu partile corespunzatoare ale corpului în imaginea persoanei. Acest lucru se datorează faptului ca îmbracamintea din magazin de obicei nu este aliniată spațial cu imaginea persoanei.2.1

Fară alinierea spațială, aplicarea directă a imaginii avansate de păstrare a detaliilor la translatarea modelelor imaginii[PIE17] pentru a fuziona textura in persoana si imaginea imbracamintei va avea ca rezultat un efect nerealist în imaginea generată in special in regiunile ocluzate si nealiniat.

Metodele anterioare folosite în rezolvarea acestei probleme abordează aceasta problema de aliniere prin deformarea îmbracamintei, adica mai întâi deformează îmbracamintea din magazin, care este apoi concatenată cu imaginea persoanei si

introdus într-un model de traducere imagine în imagine pentru generarea finală a imaginii de încercare.

Mulți dintre ei [YGL21],[XHD18] adoptă un Thin Plate Spline(TPS)[Duc77] bazat pe metoda warping, exploatând corelația dintre trasaturile extrase din persoana și imaginile vestimentare. Cu toate acestea, analizând lucrările anterioare, TSP are limitări în manipularea deformării complexe, de exemplu atunci când regiuni diferite de îmbrăcăminte necesită diferite deformări.

Ca urmare, metodele SOTA recente sunt estimarea fluxului de aspect dens pentru a deforma haina. Aceasta implică antrenarea unei rețele pentru a prezice câmpul de flux dens pe care îl reprezintă deformarea necesară pentru a alinia îmbrăcămintea cu părțile corespunzătoare ale corpului.

Cu toate acestea, metodele existente de estimare a fluxului de aspect sunt limitate în deformarea precisă a articolelor de îmbrăcăminte din cauza lipsei de context global. Mai precis toate metodele existente sunt pe baza corespondenței caracteristicii locale, de exemplu caracteristica locală concatenare sau coalare, dezvoltat pentru estimarea fluxului optic.[ADB]

Pentru a estima fluxul de aspect, ei fac presupunerea nerealistă că regiunile corespunzătoare din imaginea persoanei și articolele de îmbrăcăminte sunt localizate în același câmp receptiv local al extractorului de caracteristici. Când există o nealiniere mare între îmbrăcăminte și părțile corespunzătoare corpului (Figura 2.1 Sus) metodele bazate pe fluxul aspectului actual se vor deteriora drastic și vor genera rezultate necorespunzătoare. Lipsa unui context global face, de asemenea, metodele VTON existente bazate pe flux vulnerabile la poziții dificile/ocluzii(Figura 2.1 jos) atunci când corespondențele trebuie cautate dincolo de un cartier local.

Acest lucru limitează sever utilizarea acestor metode “in-the-wild”, prin care un utilizator poate avea o imagine completă a corpului înlocuită cu imaginea persoanei pentru a încerca mai multe articole vestimentare. Pentru a depăși această limitare, o nouă apariție globală, modelul de estimare al fluxului este utilizat în rezolvarea problemei noastre.

Mai exact, pentru prima dată, o arhitectură StyleGAN este folosită pentru estimarea fluxului de aspect dens.[TKA19] Aceasta diferă fundamental de metodele existente care utilizează o arhitectură U-Net [ORB15] pentru a păstra contextul spațial local. Folosind un vector de stil global extras din întreaga referință și articole de îmbrăcăminte facilitează modelul nostru pentru a surprinde contextul



global.

Cu toate acestea, ridică și o întrebare importantă: poate fi crucial contextul spațial local pentru aliniamentele locale? La urma urmei un singur vector de stil aparent a pierdut contextul spațial local. Pentru a răspunde la această întrebare, observăm mai întâi că StyleGAN a fost cu succes aplicat sarcinilor locale de manipulare a imaginii fetei, în care vectori de stil diferiți pot genera aceeași față din diferite puncte de vedere și diferite forme.[SZ21]

Aceasta sugerează că un vector de stil global are contextul spațial local codificat. Cu toate acestea, observăm, de asemenea, că arhitectura StyleGAN este mult mai robustă împotriva alinierilor greșite și ipostaze/ocluzii dificile în comparație cu U-Net, care este mai slab când vine vorba de modelarea deformării locale. Prin urmare, introducem un modul de rafinare a fluxului local în generatorul StyleGAN existent.

Concret, modulul nostru de warping bazat pe StyleGAN ( $W$  în Fig 2.3 ) constă din blocuri de deformare stivuite care iau ca intrări un vector de stil global, caracteristici de îmbrăcăminte și caracteristici ale persoanei. Vectorul de stil global este calculat de la cel mai mic plan de rezoluție ale imaginii persoanei și îmbrăcăminte din magazin pentru modelarea contextului global. În fiecare bloc de warping în generator, vectorul de stil global este utilizat pentru a modula canalele caracteristice care preia harta corespunzătoare caracteristicilor de îmbrăcăminte pentru a estima fluxul de aspect. [HSX22]

Pentru a permite estimatorului nostru de flux să modeleze fluxul aspectului local cu granulație fină, de exemplu, regiunile bratului și mainii (din Figura 2.6) în fiecare bloc de deformare introducem un strat de rafinare. Acest strat de rafinare deformează mai întâi harta caracteristică a articolelor de îmbrăcăminte, care este ulterior concatenată cu harta caracteristicilor persoanei la aceeași rezoluție și apoi folosit pentru a prezice fluxul de aspect local detaliat.

## 2.2 Preantrenarea unui model bazat pe analizator

VTON bazat pe imagine 2D poate fi categorizat în metode bazate pe analizator și metode fără analizator. Metodele bazate pe analizator aplică o hartă de segmentare umană pentru a masca regiunea de îmbrăcăminte în imaginea persoanei de intrare pentru estimarea parametrilor de intrare.

Masca imaginii persoanei este concatenata cu haina deformata si apoi alimentat intr-un generator pentru generarea de imagini de incercare tinta. Majoritatea metodelor aplica un parser uman pre-antrenat pentru a analiza imaginea persoanei in mai multe regiuni semnifice predefinite de exemplu cap, trunchi si pantaloni. [XHS19]

Pentru o mai buna generare de imagini de incercare, transforma si harta de segmentare pentru a se potrivi cu imbracamintea tinta. Rezultatul transformat al analizei, impreuna cu imbracamintea deformata si imaginea persoanei mascate sunt folosite pentru generarea finala de imaginii de incercare. Dependenta de un parser face ca aceste metode sa fie sensibile la rezultate proaste ale analizei umane care duc inevitabil la rezultate inexacte de deformare si incercare. In schimb metodele fara analizator, in stadiul de inferenta, ia doar ca intrari imaginea persoanei imaginea imbracamintei. [HYL20]

Sunt concepute special pentru a elimina efectele negative induse de rezultatele proaste ale analizei. Aceste metode de obicei antreneaza mai intai un model de profesor bazat pe analizator si apoi un model student fara analizator. Thibaut Issenhuth, Jeremie Mary, and Clement Calauzenes au propus un pipeline care distileaza modelul de deformare a articolelor de imbracaminte si reseaua de generare a probelor folosind perechi de tripleti. Yuying Ge, Yibing Song, Ruimao Zhang, Chongjian Ge, Wei Liu, si Ping Luo au imbunatatit in continuare consistenta ciclului pentru o mai buna distilare.[TIC15]

Metoda folosita in aplicatie este de asemenea o metoda fara analizator. Cu toate acestea metoda folosita se concentreaza pe proiectarea partii de deformare a imbracamintei, unde se propune un nou flux de aspect global bazat pe modul de deformarea al articolelor de imbracaminte.

In comparatie cu VTON bazat pe imagini, VTON 3D ofera o experienta de incercare mai buna (de exemplu permitand sa fi vizualizat cu vederi si ipostaze arbitrare), dar este si mult mai provocator. Majoritatea lucrarilor 3D VTON se bazeaza pe modele 3D parametrice ale corpului uman si necesita scanare 3D seturilor de date pentru antrenament. Colectarea seturilor de date 3D la scara larga este costisitoare si laborioase, punand astfel o constrangere asupra scalabilitatii unui model 3D VTON. Cu toate acestea exista 3D VTON care inca genereaza detalii de textura inferioare in comparatie cu modelele 2D.

StyleGAN pentru manipularea imaginilor. StyleGAN a revolutionat cercetarile

privind manipularea imaginilor in ultima vreme. Aplicarea sa de succes pe imaginea sarcinilor de manipulare adesea datorita adecvarii sale in invatarea unui spatiu latent extrem de dezlegat.

Eforturile recente au fost concentrate pe descoperirea nesupravegheata a semanticii latente. Kathleen M Lewis, Srivatsan Varadharajan, si Ira Kemelmacher-Shlizerman au aplicat pozitia conditionata StyleGAN pentru incercarea virtuala. Cu toate acestea modelul lor nu poate pastra detaliile imbracamintei si este lent in timpul interfetei. Designul retelei de deformare a articolelor de imbracaminte folosit in aplicatia noastra este inspirat de la StyleGAN in manipularea imaginii, in special super performanta in deformarea formei.[TKA19]

In loc sa se foloseasca modularea stilului pentru a genera imbracaminte deformata, se foloseste modularea stilului pentru a prezice fluxul de aspect implicit care este apoi folosit pentru a deforma imbracamintea prin esantionare. Acest design este mult mai potrivit pentru pastrarea detaliilor articolelor de imbracaminte comparativ cu cel mentionat mai sus.

Fluxul de aspect. In contextul VTON fluxul de aspect a fost introdus pentru prima data de Xintong Han, Xiaojun Hu, Weilin Huang, si Matthew R Scott. De atunci, a castigat mai multa atentie si a fost adoptat de recentul VTON de ultima generatie de modele.

In principiu fluxul de aspect este folosit ca o grila de esantionare pentru deformarea articolelor de imbracaminte, este deci informatie fara pierderi si conservare superioara in detaliu. Dincolo de VTON, fluxul de aspect este popular si in alte sarcini. Este aplicat pentru sinteza vederii noi si ideea de flux de aspect pentru a deforma harta caracteristicilor pentru pozitia persoanei de transfer.[TKA19]

Diferit de toate acest model de estimare al fluxului de aspect, prin modelarea stilului, aplica un vector de stil global pentru a estima fluxul de aspect. Asadar metoda utilizata in aplicatia noastra este superioara in capacitatea sa de a face fata unor dezechilibre mari.

Avand in vedere imaginea unei persoane  $p \in R^{3 \times H \times W}$  si imaginea imbracamintei dintr-un magazin  $g \in R^{3 \times H \times W}$ , scopul incercarii virtuale este de a genera o imagine de incercare  $t \in R^{3 \times H \times W}$  unde imbracamintea din  $g$  se potriveste partilor corespunzatoare din  $p$ . In plus in  $t$  generat, ambele detalii din  $g$  si regiunile non-vestimentare din  $p$  ar trebui pastrate.

Cu alte cuvinte, la fel persoana din  $p$  ar trebui sa apara neschimbata in  $t$ , cu exceptia ca acum poarta  $g$ . Pentru a elimina efectul negativ al analizei inexacte al omului, modelul folosit ( $F$  in Fig 2.1) este proiectat sa fie un model fara analizator.

Urmand strategia adoptata de modelele exsistente fara parser, mai intai antrenam un model bazat pe analizator  $F^{PB}$ . Apoi este folosit ca profesor pentru distilare de cunostinte pentru a ajuta la formarea modelului final  $F$  fara analizator.

Atat ( $F$ ) cat si ( $F^{PB}$ ) este format din 3 parti, adica 2 feature extractors ( $\epsilon_p^{PB}, \epsilon_g^{PB}$  in  $F^{PB}$  si  $\epsilon_p, \epsilon_g$  in  $F$ ), warping module ( $W^{PB}$  in  $F^{PB}$  si  $W$  in  $F$ ), si un generator ( $G^{PB}$  in  $F^{PB}$  si  $G$  in  $F$ ). Fiecare dintre ele va fi detaliat in sectiunile urmatoare.

Conform standardului in modele existente fara parser, modelul bazat pe analizator  $F^{PB}$  este mai intai antrenat. Se folosesc 2 modalitati in antrenarea ulterioara a modelului fara analizator propus  $F$ :

- (a) pentru a genera imaginea persoanei ( $p$ ) pentru a fi utilizata de  $F$  ca intrare si
- (b) pentru a supraveghea antrenarea lui  $F$  prin cunostinte de distilare.

Concret ( $F^{PB}$ ) ia ca intrari reprezentarea semantica (harta de segmentare, poza punct cheie si pozitie densa) a imaginii unei persoane reale ( $p_{gt} \in R^{3 \times H \times W}$ ) in setul de antrenament si o haina nepereche ( $g_{un} \in R^{3 \times H \times W}$ ). Iesirea din ( $F^{PB}$ ) este imaginea  $p$  unde persoana originala poarta gun.  $p$  va servi drep intrare pentru  $F$  in timpul antrenamentului. Acest design, conform [YGL21], beneficiaza de faptul ca acum avem pereche imaginea persoanei ( $p_{gt}$ ) si imaginea imbracamintei ( $g$ ) in  $p_{gt}$  la antrenarea modelului  $F$  fara analizator adica:

$$F^* = \operatorname{argmin} \|t - p_{gt}\|, F$$

unde  $t = F(p, g)$  este imaginea de incercare generata de la  $F$ . Sa nu uitam ca  $F^{PB}$  este folosit doar in timpul antrenamentului lui  $F$ .

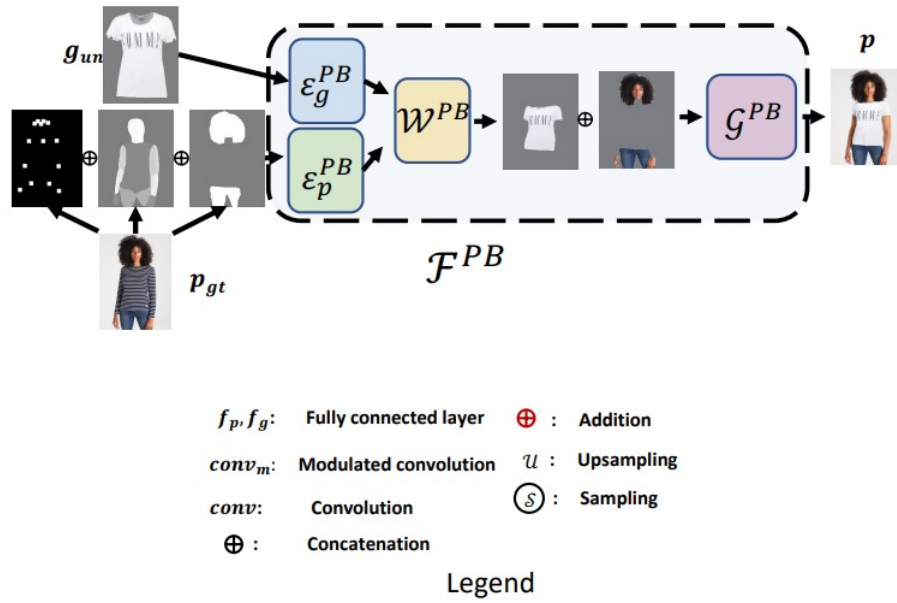


Figura 2.2: Modelul folosit bazat pe analizator [PIE17]

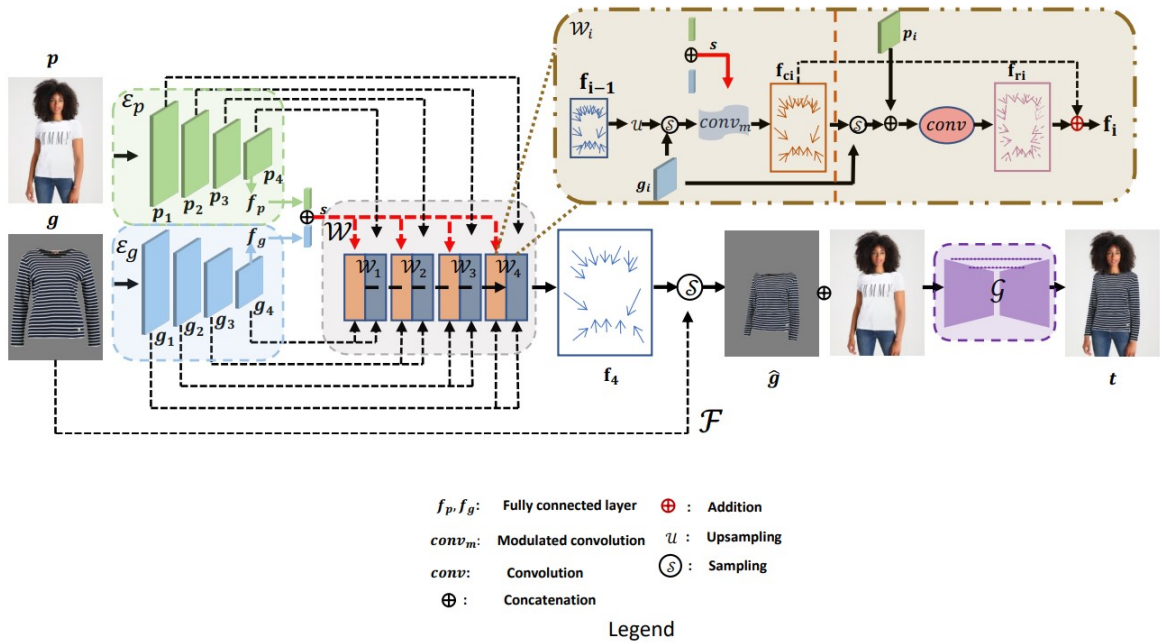


Figura 2.3: Modelul folosit overall [PIE17]

(Figura 2.2 si 2.3) O schema a sistemului folosit. Modelul ( $F^{PB}$ ) bazat pe analizatorul pre-antrenat genereaza o imagine de iesire ca intrare a modelului  $F$  fara analizator.

Cele doua extractoare de caracteristici din  $F$ , extrag caracteristica imaginii persoanei si respectiv imaginea imbracamintei. Se extrage un vector de stil din harta caracteristicilor cu cea mai mica rezolutie din imaginea persoanei si imaginea imbracamintei. Modulul warping preia vectorul de stil si harta de caracteristici din imaginea persoanei si imaginea imbracamintei si scoate un plan al fluxului de aspect. Fluxul de aspect este apoi folosit pentru a deforma haina. In cele din urma, imbracamintea deformata este concatenata cu imaginea persoanei si introdusa in generator pentru a genera imaginea de incercare tinta. De retinut ca ( $F^{PB}$ ) este utilizat numai in timpul antrenamentului.

## 2.3 Extragerea caracteristicilor

Aplicam doi codificatori convolutionali  $\epsilon_p$  si  $\epsilon_g$  pentru a extrage caracteristicile lui  $p$  si  $g$ . Atat  $\epsilon_p$  cat si  $\epsilon_g$  impartasesc aceeasi arhitectura compusa din blocuri reziduale stivuite. Caracteristicile extrase din  $\epsilon_p$  si  $\epsilon_g$  pot fi reprezentate ca:  $\{p_i\}_1^N$  si  $\{g_i\}_1^N$  ( $N=4$  in Figura 2.3), unde  $p \in R^{c_i \times h_i \times w_i}$  si  $g \in R^{c_i \times h_i \times w_i}$  sunt hartile caracteristicilor extrase din blocul rezidual din  $\epsilon_p$  respectiv  $\epsilon_g$ .

Hartile de caracteristici extrase vor fi utilizate in  $W$  pentru a prezice fluxul de aspect.

## 2.4 Estimarea fluxului de aspect bazat pe stil

Principala componentă nouă a modelului propus este modul de estimare a fluxului de aspect global bazat pe stil.

Diferite de metodele anterioare care estimează fluxul de aspect pe baza corespondenței caracteristicilor locale, inițial propusă în estimarea fluxului optic, metoda folosita in aplicatia noastră se bazeaza pe un vector de stil global, mai întâi estimează un flux de aspect grosier prin modularea stilului și apoi rafinează fluxul de aspect grosier prezis pe baza corespondenței caracteristicilor locale.

După cum este ilustrat în Fig 2.3, modulul nostru de deformare ( $W$ ) constă din  $N$  blocuri de deformare stivuite  $\{W_i\}_1^N$ , fiecare bloc este compus dintr-un strat de predicție a fluxului de aspect bazat pe stil (dreptunghi portocaliu) și un strat de

rafinare a fluxului de aspect bazat pe corespondență locală (dreptunghi albastru).

Concret, noi mai întâi extrageți un vector de stil global ( $S \in R^c$ ) folosind caracteristicile de ieșire din blocurile N-lea (finale) ale  $\epsilon_p$  și  $\epsilon_g$ , notate ca  $p_N$  și  $g_N$ , ca:

$$s = [f_p(p_N), f_g(g_N)][\text{HSX22}],$$

unde  $f_p$  și  $f_g$  sunt straturi complet conectate și  $[\cdot, \cdot]$  denotă concatenare.

Intrinsec, stilul global extras din vectorul  $s$  conține informațiile globale ale persoanei și îmbrăcăminte, de exemplu, poziție, structură etc.

Similar cu stilul bazat manipularea imaginii, ne așteptăm ca vectorii de stil global să captureze deformația necesară pentru deformare  $g$  în  $p$ . Este astfel folosit pentru modularea stilului într-un generator de stil StyleGAN pentru estimarea unui câmp de flux de aspect.

Mai precis, în fluxul de aspect bazat pe stil stratul de predicție al fiecărui bloc  $W_i$ , aplicăm modularea stilului pentru a prezice un flux grosier:

$$f_{ci} = \text{conv}_m(S(g_{N+1-i}, U(f_{i-1})), s)[\text{HSX22}],$$

unde  $\text{conv}_m$  denota convolutia modulata,  $S(\cdot, \cdot)$  este operatorul de esantionare,  $U$  este operatorul de supraesantionare, și  $f_{ci} \in R^{2 \times h_{i-1} \times w_{i-1}}$  este debitul prezis de la ultimul bloc de warping.

De reținut că primul bloc  $W_1$  din  $W$  primește doar harta caracteristicilor articolelor de îmbrăcăminte cu cea mai mică rezoluție și vectorul stilului, de exemplu  $f_{c1} = \text{conv}_m(g_N, s)$ .

După cum se poate observa din ecuația de mai sus,  $f_{ci}$  prezis depinde de harta caracteristicilor articolelor de îmbrăcăminte și vectorul de stil global. Are astfel un câmp receptiv global și este capabil să facă față dezechilibrelor mari între îmbrăcăminte și imaginile persoanei.

Cu toate acestea, ca stil vectorul  $s$  este o reprezentare globală, ca compromis, are a capacitatea limitată de a estima cu precizie granulația fină locală a fluxului de aspect (după cum se arată în Fig. 2.6).

Pentru fluxul grosier este deci nevoie de un rafinament local.

Pentru a rafina  $f_{ci}$ , introducem o corespondență locală bazată pe stratul de rafinare a fluxului de aspect în fiecare bloc  $W_i$ . El vizează pentru a estima un flux de aspect local cu granulație fină:

$$f_{ri} = \text{conv}_m([S(g_{N+1-i}, f_{ci}), p_{N+1-i}][\text{HSX22}],$$

unde  $f_{ri}$  este fluxul de rafinare prezis și  $conv$  denotă convoluție.

În principiu, stratul de rafinare estimează fluxul rafinamentului prin corespondența locală, adică corespondența dintre trăsăturile persoanei deformate și caracteristică vestimentară în același câmp receptiv.

Rețineți că după deformarea prin  $f_{ci}$ , putem presupune că corespunzător regiunilor/caracteristicilor din  $g_{N+1_i}$  și  $p_{N+1_i}$  sunt acum localizate în același câmp receptiv.

La final, adăugăm fluxul grosier și cea locală cu granulație fină fluxului de aspect împreună ca rezultat al fiecărei deformări bloc:

$$f_i = f_{ci} + f_{ri},$$

Fluxul de aspect prezis  $f_N$  din ultimul bloc în  $W$  este folosit pentru a deforma îmbrăcămintea:

$$\hat{g} = S(g, f_N)$$

Iar haina deformată  $\hat{g}$  este apoi concatenată cu imaginea persoanei și introdusă într-un generator pentru generarea de imagini de încercare țintă:

$$\hat{t} = G[\hat{g}, p]$$

Generatorul  $G$  are o arhitectură codificator-decodor care omite conexiunile între ele.

## 2.5 Obiective de învățare

Pentru a ne antrena modelul, aplicăm mai întâi un perceptual loss între ieșirea lui  $F$  și imaginea persoanei adevărată de la bază  $p_{gt}$ :

$$L_p = \sum_i ||\phi_i(t) - \phi_i(p_{gt})|| \text{ [HSX22]},$$

unde  $\phi_i$  este al  $i$ -lea bloc al rețelei VGG pre-antrenate [SZ20].

Pentru a supraveghea antrenamentul modelului de deformare  $W$ , am aplicat un loss pe îmbrăcămintea deformată:

$$L_g = ||\hat{g} - m_g p_g t|| \text{ [HSX22]},$$

unde  $m_g$  este masca de îmbrăcăminte a  $p_{gt}$  prezisă de un model de analiză umană



disponibilă.

Conform standardului din metodele anterioare de flux de aspect, aplicăm și o regularizare a netezirii asupra debitului prezis din fiecare bloc în  $W$ :

$$L_r = \sum_i ||\nabla f_i|| [\text{HSX22}],$$

unde  $||\nabla f_i||$  este funcția generalizată de loss Charbonnier

Ca intrări (hartă de segmentare, poziție punct cheie și poziție densă) la codificatorul de persoană bazat pe analizator ( $\epsilon^{PB}$ ) conțin mai multe informații semantice decât cele ale modelului  $F$  parserfree (imaginea persoanei), aplicăm un loss prin distilare pentru a ghida învățarea codificatorului de persoană  $\epsilon^P$  în  $F$ :

$$L_D = \sum_i ||p_i^{PB} - p_i|| [\text{HSX22}],$$

unde  $p_i^{PB}$  este harta caracteristicilor de ieșire de la al  $i$ -lea bloc din codificator persoanei  $\epsilon_p^{PB}$  în modelul bazat pe analizator pre-antrenat  $F_{PB}$ .

Obiectivul general de învățare este:

$$L = \lambda_p L_p + \lambda_g L_g + \lambda_R L_R + \lambda_D L_D [\text{HSX22}],$$

unde  $\lambda_p$ ,  $\lambda_g$ ,  $\lambda_R$  și  $\lambda_D$  denota hiperparametrii pentru echilibrarea celor patru obiective.

## 2.6 Experimente si rezultate

Experimentăm modelul nostru pe setul de date VITON. Este cel mai popular set de date folosit în celelalte modele anterioare.

VITON conține un set de antrenament care conține 14.221 de perechi de imagini și un set de date de testare de 2.032 de perechi. Atât imaginile persoanei, cât și cele ale hainelor sunt de rezoluție  $256 \times 192$ .

De asemenea, creăm un set de date de testare, notat cu augmentat VITON, pentru a evalua robustețea modelului față de imaginea persoanei poziționate aleatoriu cu dezechilibre mai mari cu imaginile de îmbrăcăminte din setul de date original. (exemplu Fig 2.5)

Deoarece majoritatea imaginilor persoanei de testare în VITON sunt bine poziționate,

astfel încât imaginea persoanei și îmbrăcămintea să fie bine pre-aliniat (de exemplu, majoritatea regiunilor corespunzătoare din persoană imaginea și imaginea îmbrăcămintei sunt situate aproximativ în același câmp receptiv), nu este potrivit pentru această evaluare.

Concret, setul de date VITON augmentat este creat prin creșterea aleatorie a imaginii persoanei de testare în VITON și prin deplasarea și mărire/micșorarea imaginii. În special, noi marim la întâmplare cu  $1/3$  imaginile persoanei de testare în VITON prin schimbarea poziției persoanei în imagine și creștem aleatoriu cu încă  $1/3$  imaginea de testare în VITON prin mărire/micșorarea persoanei din imagine și păstrează cu încă  $1/3$  imaginea de testare neschimbata.

Modelul nostru este implementat în PyTorch. Ne antrenăm modelul cu un Nvidia GTX GPU 1660-Ti. Setăm batch size-ul la 4 și antrenăm modelul cu 100 de epoci. Antrenăm modelul cu optimizatorul Adam [KB15]. Rata de învățare inițială este setată la  $5e-4$ . Fiecare bloc rezidual din  $\epsilon_p$  și  $\epsilon_g$  este urmat de un pooling layer pentru a reduce dimensiunea spațială. Am stabilit  $N = 5$  și  $c = 256$  în implementare.[HSX22]

Ne evaluăm modelul atât automat cât și manual. În evaluarea automată, conform standardului în VTON, evaluăm performanța modelului folosind similaritatea structurii (SSIM) și Frechet Inception Distance (FID). Conform Parser-free virtual try-on via distilling appearance flows. In CVPR, 2021, scorul inițial (IS) nu este adecvat pentru evaluarea imaginilor VTON, deci nu o adoptăm în evaluare.

În evaluarea manuală, efectuăm un studiu vizual pentru a compara calitatea imaginilor de încercare generate de la diferite modele.

Ne comparăm metodele cu alte metode bazate pe parser VTON, CP-VTON, Cloth-flow, CPVTON++, ACGPN, DCTON și ZFlow. De asemenea, comparăm cu metoda SOTA fără analizator PFAFN.[HSX22]

Metode	Warping	Parser	SSIM	FID
VTON	TPS	Y	0.74	55.71
PF-AFN	AF	N	0.89	10.09
Cloth-flow	AF	Y	0.84	14.43
CP-VTON++	TPS	Y	0.75	21.04
ACGPN	TPS	Y	0.84	16.64
Ours	AF	N	0.91	8.89

Tabela 2.1: Rezultatele diferitelor modele VTON în comparație cu modelul folosit [HSX22]

Rezultatele cantitative ale testării VITON pe setul de date este prezentat în tabelul 2.1. Acest model atinge performanțe de ultimă generație în comparație cu

celelalte modele din literatura.

Modelele cu deformarea pe bază de flux de aspect au în general rezultate mai bune decât deformarea bazată pe TPS metode. Deși necesită mai mult timp de antrenament, metodele fără parser sunt mult mai bune decât metodele bazate pe parser.

Rezultatele evaluării umane sunt prezentate în tabelul .

Modelul nostru depășește toate modelele comparate cu o rată de preferință de peste 10

Rezultatele calitative de la diferite modele sunt ilustrate în Fig 2.4

Per total, metoda noastră generează imagini de încercare mai bune. De exemplu, poza dură și ocluzia în al doilea și al treilea rând.

Exemplele calitative sunt ilustrate în Fig 2.4. Modelul nostru poate genera consecvență (de exemplu, mâneca stângă a articolelor de îmbrăcăminte) și imagini de înaltă calitate de probă pentru marile dezalinieri.

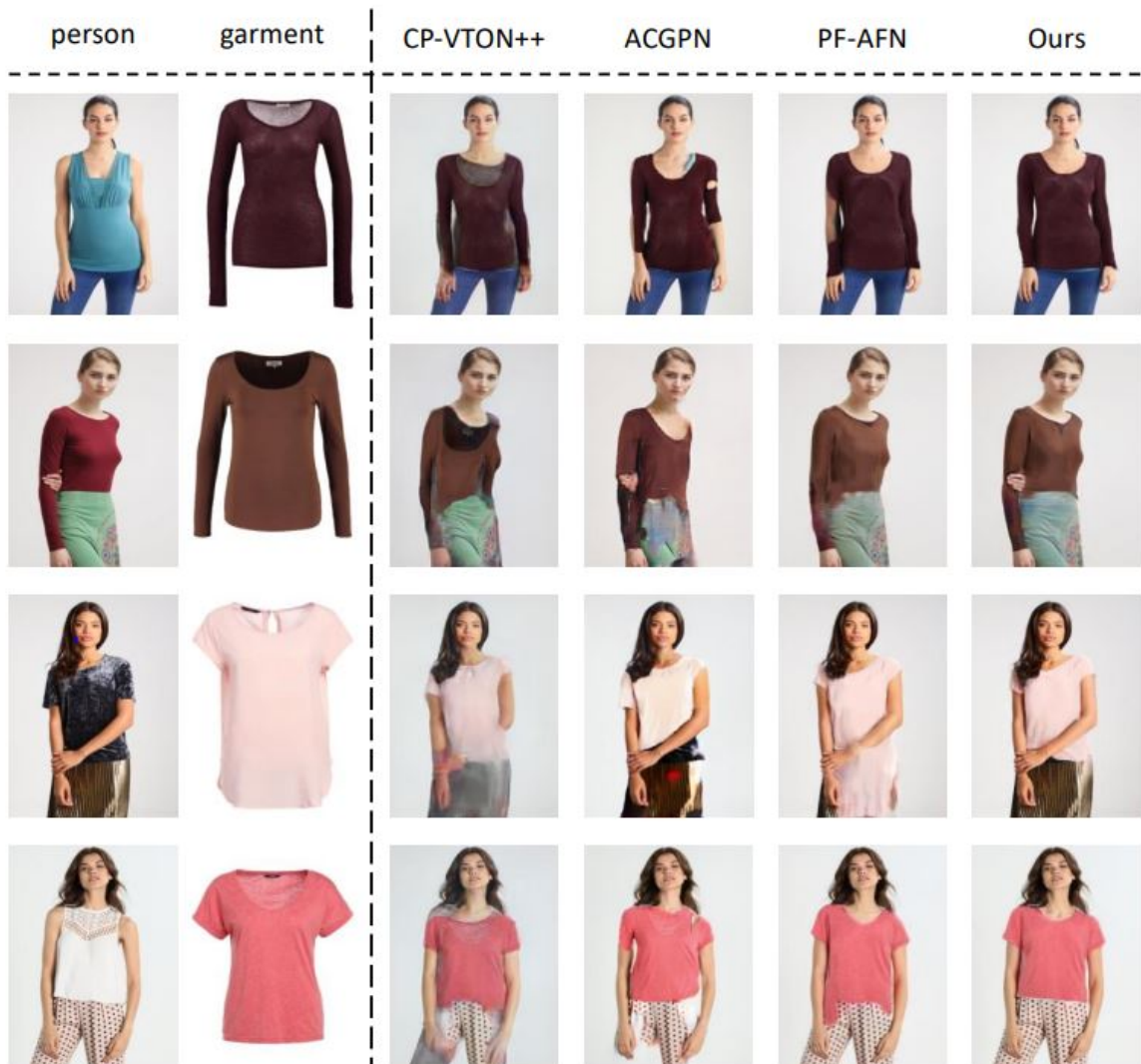


Figura 2.4: Rezultate calitative de la diferite modele (CP-VTON++, ACGPN, PF-AFN și al nostru) pe setul de date de testare VITON.[HSX22]

Comparatie metode	rata de preferinta
CP-VTON++	12.7% / 87.3%
ACGPN	20.2% / 79.8%
Cloth-flow	38.5% / 61.5%
AF-PFN	43.2% / 56.8%

Tabela 2.2: Rata de preferință comparând alte modele cu ale noastre model (alte modele/modelul nostru) în evaluarea umană. [HSX22]



Figura 2.5: Ilustrarea robusteții diferitelor modele VTON la imaginea persoanei poziționate aleatoriu. Primul rând folosește imaginea originală a persoanei ca intrare. Și al doilea rând folosește ca intrare imaginea persoanei deplasată vertical. ACGPN, Cloth-flow, PF-AFN. [HSX22]



Figura 2.6: Compararea rezultatelor cu doar  $f_{ci}$  folosit în  $W_i$  și  $f_{ci} + f_{ri}$  folosit în  $W_i$ . [HSX22]

# Capitolul 3

## Tehnologii folosite

### 3.1 Backend

În dezvoltarea software, termenii frontend și backend se referă la separarea elementelor ce definesc interfața de prezentare a unei aplicații (front end a.k.a ce vede user-ul final) și nivelul de acces și redare date (backend a.k.a acțiunile întreprinse de server). Dezvoltarea backend funcționează în tandem cu partea frontală pentru a oferi utilizatorului produsul final.[Aca]

Pe scurt, în backend sunt gestionate funcționalitățile de culise a aplicațiilor web. Codul specific componentei de backend gestionează practic:

- legătura dintre interfața și baza de date
- conexiunea utilizatorilor
- alimentarea aplicației web

#### 3.1.1 Python, MongoDB, Flask

Python este un limbaj de programare pentru calculator folosit adesea pentru a construi site-uri web și software, pentru a automatiza sarcini și pentru a efectua analize de date. Python este un limbaj de uz general, ceea ce înseamnă că poate fi folosit pentru a crea o varietate de programe diferite și nu este specializat pentru probleme specifice.[Cou]

Flask este un framework web, este un modul Python care vă permite să dezvoltați cu ușurință aplicații web. Are un nucleu mic și ușor de extins: este un microcadru care nu include un ORM (Object Relational Manager) sau astfel de caracteristici. Are multe caracteristici interesante, cum ar fi rutarea URL, motorul de șablon. Este un cadru de aplicație web WSGI.

Interfața Web Server Gateway (Web Server Gateway Interface, WSGI) a fost folosită ca standard pentru dezvoltarea aplicațiilor web Python. WSGI este specificația unei interfețe comune între serverele web și aplicațiile web.[pyt]

De ce Flask este o alegere bună pentru un web framework?

- Există un server de dezvoltare încorporat și un depanator rapid
- Usor de folosit
- Cookie-urile securizate sunt acceptate
- Template folosind Jinja2
- Expedierea cererilor folosind REST
- Suportul pentru testarea unitară este încorporat

Flask REST API - Serviciile REST API vă permit să interacționați cu baza de date prin simpla efectuare a solicitărilor HTTP.

Acesta este adesea modul în care este creat backend-ul aplicațiilor web. Datele returnate sunt în format JSON, iar solicitările pe care le folosim sunt PUT, DELETE, POST și GET

- GET - Cea mai comună metodă. Se trimite un mesaj GET, iar serverul returnează date
- POST - Folosit pentru a trimite date de formular HTML către server. Datele primite prin metoda POST nu sunt stocate în cache de către server.
- PUT - înlocuiește datele curente ale resursei țintă cu conținut încărcat
- DELETE - sterge toate detele curente ale resursei țintă date de adresa URL

Flask mapează cererile HTTP la funcțiile Python. În acest caz, am mapat o cale URL ('/') la o funcție, home. Când ne conectăm la serverul Flask la `http://127.0.0.1:5000/`, Flask verifică dacă există o potrivire între calea furnizată și o funcție definită. Deoarece /, sau nicio cale suplimentară furnizată, nu a fost mapat la funcția de acasă, Flask rulează codul în funcție și afișează rezultatul returnat în browser. În acest caz, rezultatul returnat este un marcaj HTML pentru o pagină de pornire care întâmpină vizitatorii site-ului care găzduiește API-ul nostru.

MongoDB este un program de gestionare a bazelor de date NoSQL open source. NoSQL este folosit ca alternativă la bazele de date relaționale tradiționale.

Bazele de date NoSQL sunt destul de utile pentru lucrul cu seturi mari de date distribuite. MongoDB este un instrument care poate gestiona informații orientate către documente, poate stoca sau prelua informații.

Simplifică integrarea datelor și oferă o scalabilitate mai bună decât bazele de date relaționale tradiționale.

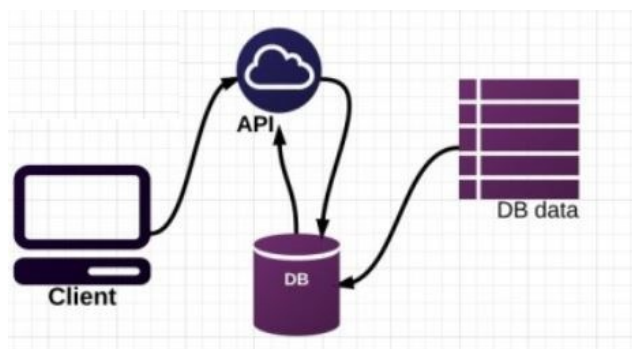


Figura 3.1: Api interactiune cu client si baza de date [ARY]

Site-urile de comerț electronic de astăzi au nevoie de modele bogate de date și interogări dinamice. MongoDB oferă acest lucru, făcându-l o alegere populară pentru multe companii. Există o gamă largă de funcții pe care le puteți construi pentru magazinul dvs. folosind MongoDB.

Diferențele dintre MongoDB și o bază de date tradițională: Majoritatea bazelor de date sunt cunoscute ca baze de date relationale RDBMS (Relational Data Base Management Systems) și sunt structurate în tablele și folosesc în general un limbaj SQL (Structured Query Language) pentru a face modificări și pentru a seta anumite reguli datelor.

Asadar MongoDB stochează datele fără o structură de tabel, le stochează într-un format JSON. Asta ne permite ca programatori să facem modificări frecvente structurii datelor noastre cu flexibilitate ridicată.



Figura 3.2: Structura MongoDB [Tim]

Asadar MongoDB are baze de date, o bază de date este alcătuită din colecții și o colecție este alcătuită din documente. Documentele stochează toate datele noastre



iar aceste date sunt categorizate în colecții iar colecțiile formează o singură bază de date. Exemplu Figura 3.2

Datele dintr-un document sunt stocate într-un câmp de valori pereche exact ca un dicționar în Python.

Deci pe plan intern MongoDB folosește o ceva numit BSON (Binary JavaScript Object Notation) similar cu JSON dar are câteva diferențe minore. [Tim]

## 3.2 FrontEnd

Front-End-ul este partea aplicației care interacționează în mod direct cu utilizatorul. Cunoscută și sub numele de partea client, aceasta se ocupă de aspectul și funcționalitatea interfeței paginii web.

Elementele implementate de către un Front-End developer aplicației includ, dar nu sunt limitate la: stilul, paleta de culori, imaginile, butoanele, meniurile de navigație, comportamentul elementelor vizibile de către utilizator.

### 3.2.1 React, Typescript, MaterialUI

React este o bibliotecă JavaScript declarativă, eficientă și flexibilă pentru construirea de interfețe cu utilizatorul. Vă permite să compuneți interfețe de utilizare complexe din bucăți mici și izolate de cod numite „componente”.

TypeScript este un limbaj de programare conceput pentru a funcționa cu JavaScript. Deși nu este conceput special pentru React, poate fi folosit cu React. TypeScript oferă unele beneficii față de JavaScript, cum ar fi siguranța îmbunătățită a tipului și suport mai bun pentru programarea orientată pe obiecte.

Material-UI este pur și simplu o bibliotecă care ne permite să importăm și să folosim diferite componente pentru a crea o interfață cu utilizatorul în aplicațiile noastre React. Acest lucru economisește o cantitate semnificativă de timp, deoarece dezvoltatorii nu trebuie să scrie totul de la zero.

Redux este o bibliotecă JavaScript open-source pentru gestionarea stării aplicației. Funcționează cel mai bine în aplicații extinse, extinse. Cu toate acestea, pentru a-l utiliza corect, mai întâi trebuie să vă pregătiți. Totul ar trebui să meargă fără probleme atâta timp cât middleware-ul este complet și aveți control deplin asupra preluărilor, stărilor etc. În Redux, nu trebuie să preluați totul tot timpul. Acesta este motivul pentru care Redux rămâne cel mai popular instrument bazat pe flux pentru managementul statului. [Bat]

Din punct de vedere al arhitecturii, Redux ajută la menținerea ordinii în folderele și fișierele proiectului. Ajută programatorii să înțeleagă structura aplicației și să introducă oameni noi în proiect (cu condiția ca aceștia să aibă cunoștințe anterioare despre Redux). Componentele sale sunt: obiect JS global, funcții de reducere, acțiuni și abonamente.

Avantajele utilizării Redux:

- Este larg răspândit, așa că există o comunitate activă care te poate ajuta.
- Usor de testat
- Depanare bună, permițându-vă să înregistrați stări și acțiuni.
- Structură de cod bună – Aplicațiile Redux au de obicei o arhitectură similară, astfel încât programatorii experimentați pot trece cu ușurință la alt proiect.
- Este conceput pentru a fi utilizat cu date actualizate frecvent.
- Redux elimină re-rendărilor inutile, iar vizualizarea se reîmprospătează atunci când se schimbă un anumit obiect din magazin.

# Capitolul 4

## Dezvoltarea aplicației

### 4.1 Dezvoltarea aplicației client

Folosind React pentru o flexibilitate mai bună a clientului, structura fișierelor și a folderelor a fost creată automat folosind cele mai bune practici. Pentru a crea un proiect nou în react folosind typescript am folosit următoarea comandă: `npx create-react-app my-app --template typescript`

Se poate observa în Figura 4.1 structura folderelor și a fișierelor:

- `node_modules` folderul cu toate modulele instalate de NPM (ex: `redux`, `material ui`, `axios`)
- `package.json` conține atât date despre aplicație (ex: nume, versiune) cât și numele și versiunea pentru toate modulele și bibliotecile necesare ca aplicația să ruleze.
- `App.tsx` aceasta este principala noastră componentă React. Extensia `.tsx` ne spune că fișierul folosește atât TypeScript, cât și JSX.
- `src/components` - toate componentele utilizate în dezvoltarea aplicației
- `src/components/app` - `store.tsx` permite componentelor să partajeze starea

Celelalte dependențe din proiect cum ar fi `axios`, `material-ui`, `react-router-dom`, `react-redux` le-am instalat folosind comanda `npm install 'package-name'`

Unul dintre lucrurile care m-au convins să folosesc React au fost componentele funcționale. „Modul vechi” de a face componente este cu componente de clasă. Și pot păstra statul pe clasă. Statul este ca recuzita, dar privat și controlat doar de componentă.

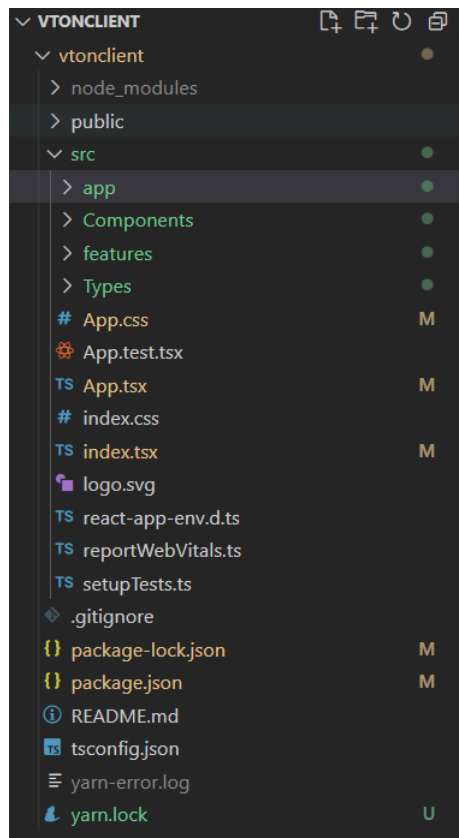


Figura 4.1: Structura fișierelor

### 4.1.1 Interfața autentificare si înregistrare

În Figura 4.2 putem observa interfața grafică pentru funcționalitatea de autentificare. Aici utilizatorul se va putea autentifica cu ajutorul unui nume de utilizator și parola cu care și-a creat contul. În cazul în care utilizatorul este deja conectat se va deschide pagina principală. Tot în această pagină putem să navigăm la pagina de register pentru a ne crea un cont de utilizator în cazul în care nu avem unul.

La apăsarea butonului LOGIN sunt trimise datele formularului (username și parolă) printr-o cerere HTTP de tip POST la server, folosind funcția `axios.post` din biblioteca `axios`. În funcție de răspunsul primit de la server care este de tip JSON, ori afișăm mesajul de eroare dacă autentificarea nu a fost realizată cu succes.

Înregistrarea utilizatorului se face prin accesarea formularului de înregistrare, unde datele sunt transmise către server aproape la fel ca la autentificare, iar după validarea lor aceleași acțiuni sunt luate în funcție de răspunsul primit.

După cum putem observa în Fig 4.4 cu ajutorul `axios` facem o cerere de tip POST la server cu datele de autentificare, date create cu ajutorul interfeței `RegisterProps`, și primește ca răspuns datele cu care a fost creat contul.

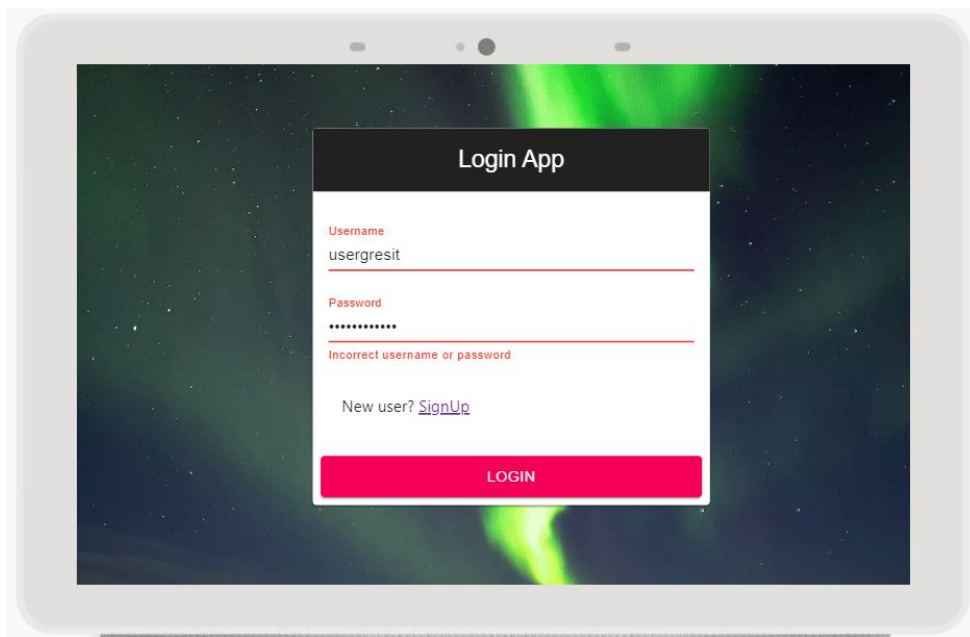


Figura 4.2: Interfața de autentificare

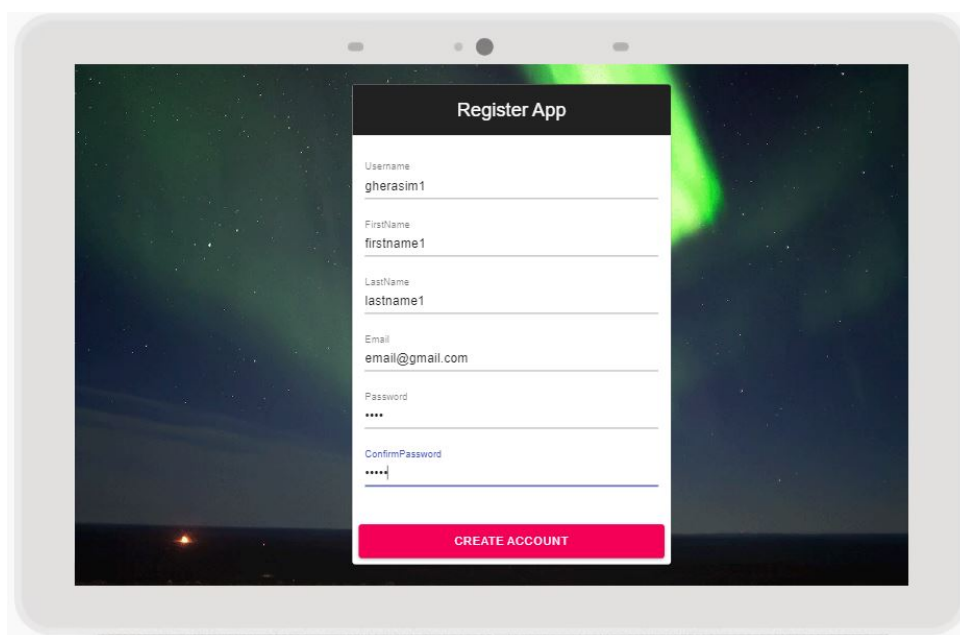


Figura 4.3: Interfața de înregistrare

```
export const userRegister = createAsyncThunk("user_current/userRegister", async (dataRequest: RegisterProps) => {  
  const response = await axios.post<IServerToDoDataRegister>(  
    "http://localhost:5000/register", dataRequest  
  );  
  
  const user = {  
    username: response.data.username,  
    firstname: response.data.firstname,  
    lastname: response.data.lastname,  
    email: response.data.email  
  };  
  
  return { user_current: user };  
});
```

Figura 4.4: Secțiune de cod: Cererea HTTP de tip POST pentru înregistrare

### 4.1.2 Interfața home page si vizualizare produse

După ce utilizatorul se autentifică cu succes va fi redirectionat către pagina principală a site-ului HomePage. Această pagina conține o bară de navigare cu ajutorul careia putem sa vizualizăm produsele existente pe site la momentul actual.

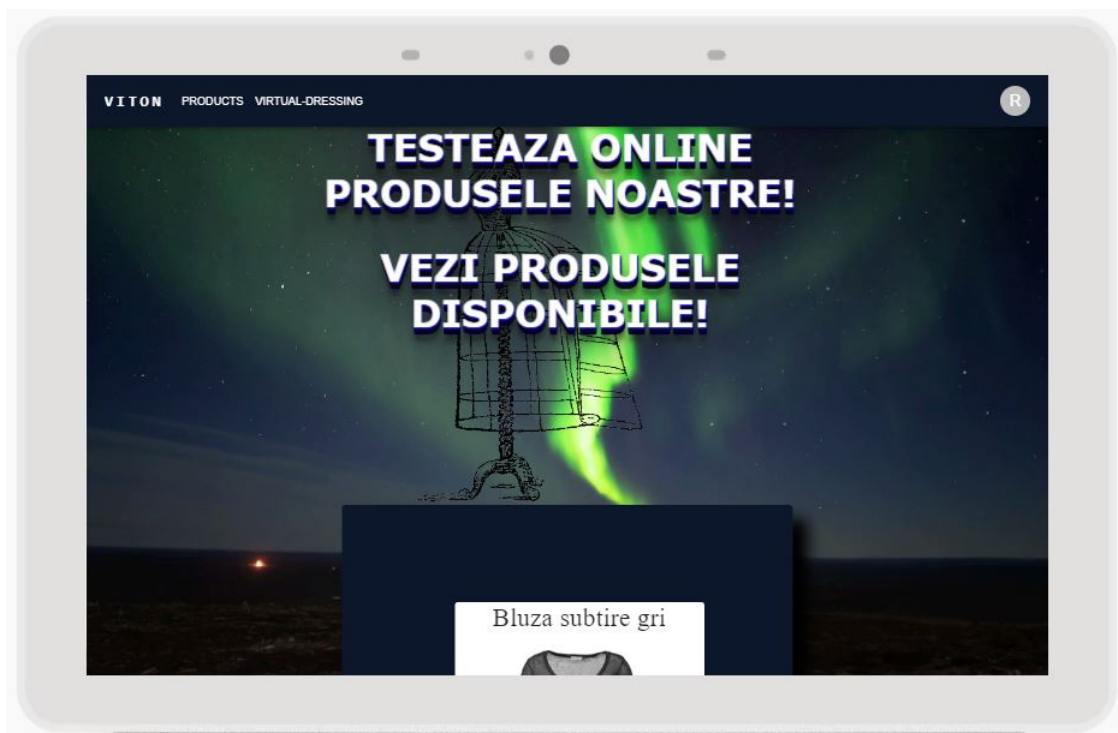


Figura 4.5: Interfața home page

Pentru a vizualiza lista de produse disponibile în baza de date trebuie să selectăm din pagina principală opțiunea products din bara de navigație sau accesând ruta <http://localhost/products>. Putem selecta orice produs de pe site pentru al vizualiza mai detaliat dând click pe acesta. Bara de navigatie este o componenta ce poate fi refolosita cat timp utilizatorul este logat.

Pentru a vizualiza un produs mai în detaliu putem sa-l mai accesam folosind ruta <http://localhost/products/id-produs>, unde id-produs este id-ul produsului selectat. Acest id este de tip numeric pozitiv. Fiecare produs are în componență o denumire, descriere și un preț. Apăsând butonul „Încearcă proba virtuală” vom fi redirectionați către pagina de virtual-dressing. În figura 4.5 este ilustrată pagina de homepage, figura 4.6 lista tuturor produselor iar figura 4.7 vizualizarea unui produs selectat.

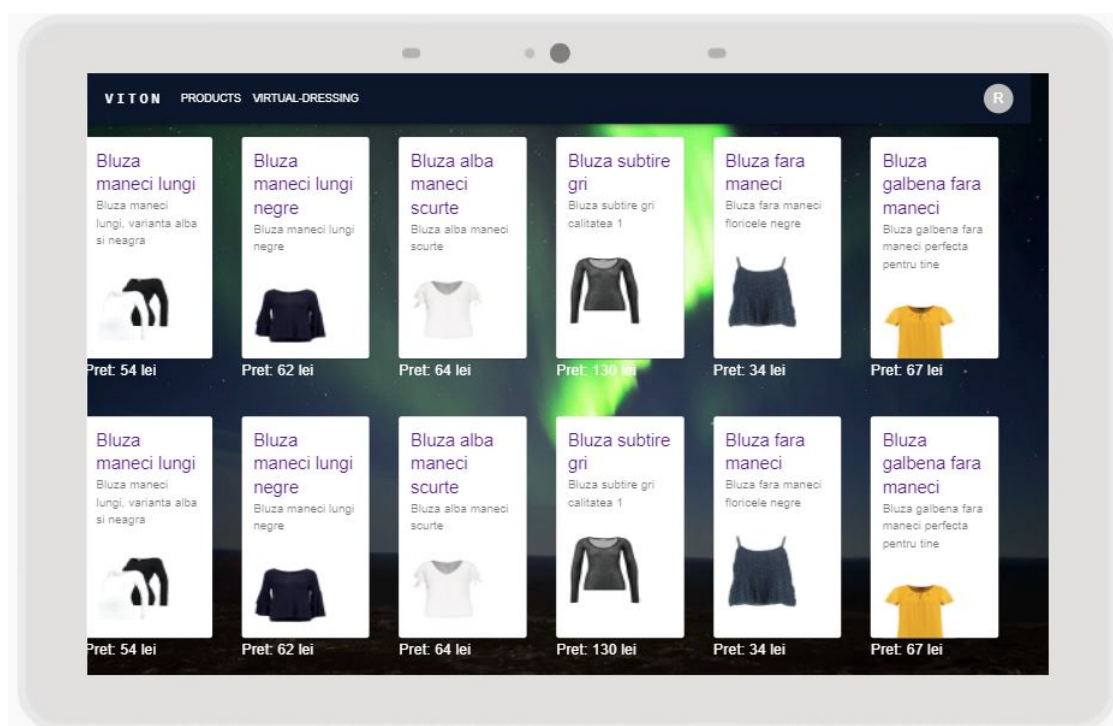


Figura 4.6: Interfața selectare produse

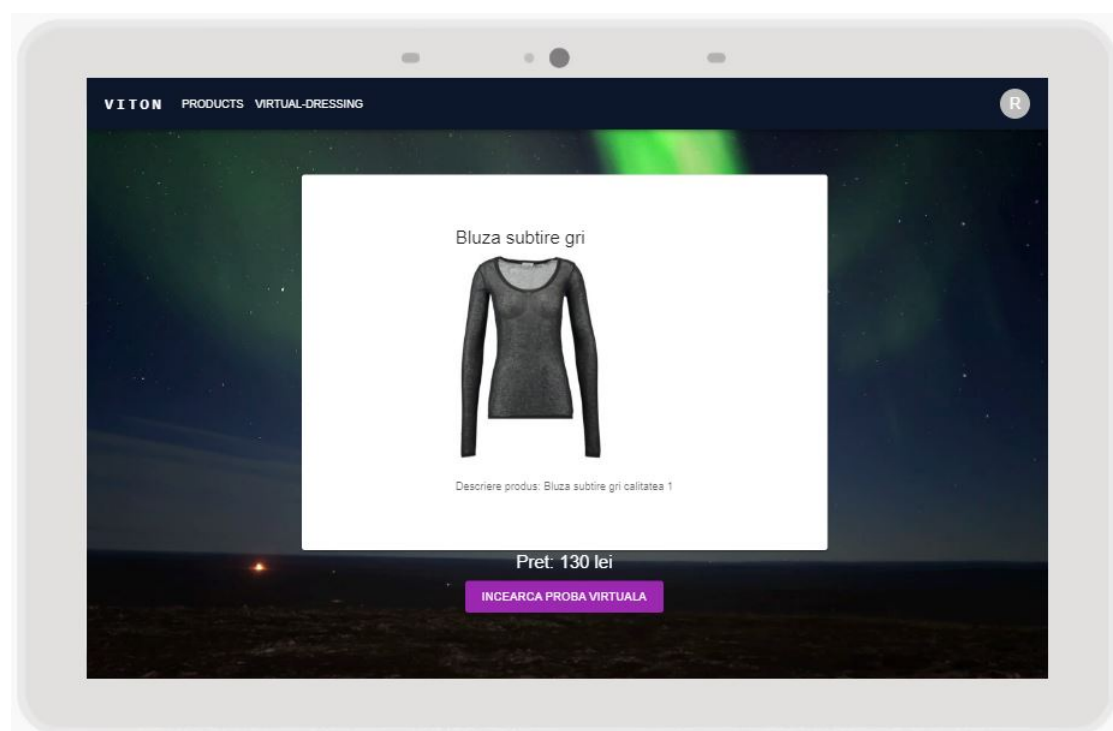


Figura 4.7: Interfața vizualizare produs selectat

### 4.1.3 Interfața virtual dressing

Odată selectat un produs din lista de produse utilizatorul poate să încarce o imagine cu corpul/silueta acestuia iar server-ul folosind algoritmi de modelare va genera o imagine de încercare cu poza aleasă de pe site și cea încărcată de el.

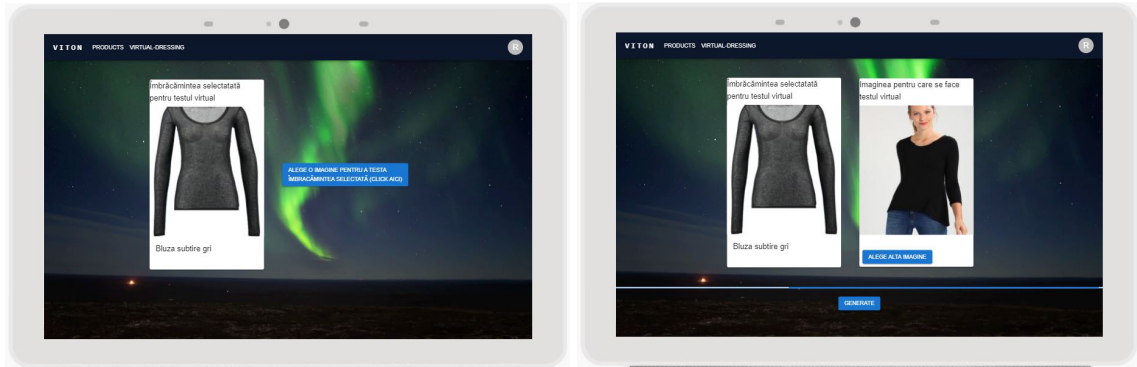


Figura 4.8: Interfata virtual dressing - inserare imagine

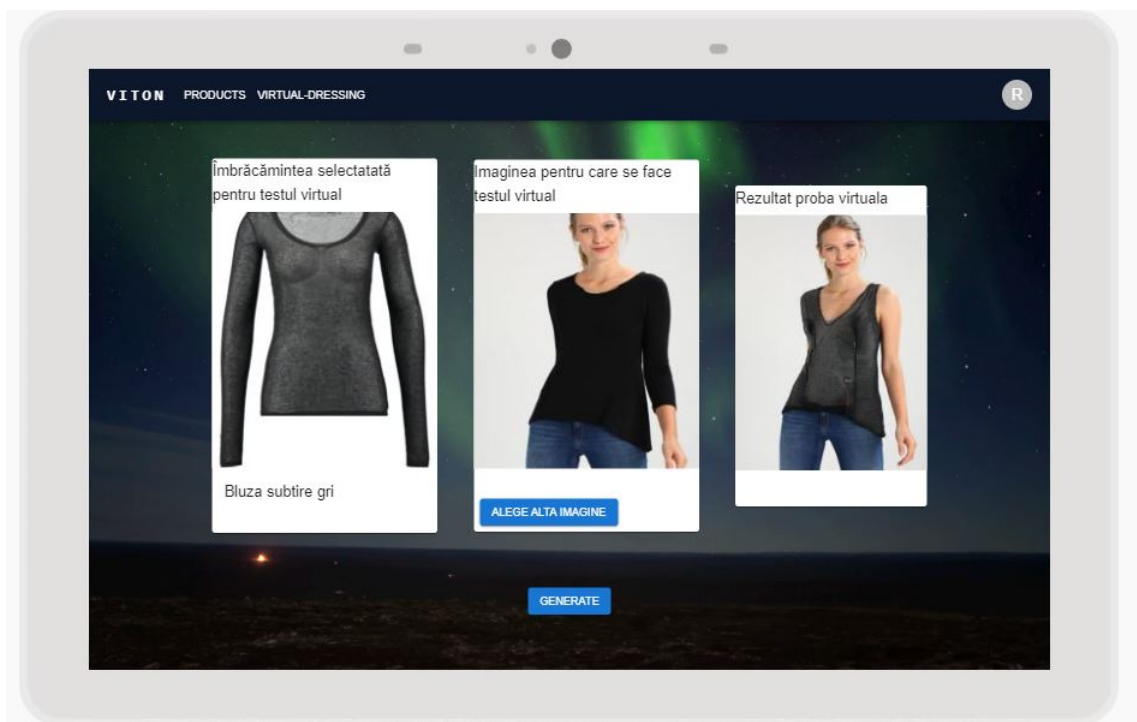


Figura 4.9: Interfata virtual dressing - rezultat

Imaginea selectată cu îmbrăcămintea din pagina de vizualizare produs este vizibilă și în pagina de virtual-dressing. Dacă utilizatorul consideră că poza încărcată nu este potrivită pentru proba virtuală poate selecta altă imagine apăsând butonul „Alege altă imagine” doar după ce a încărcat deja o imagine. După ce introduce imaginea dorită în aceeași pagină va apărea un buton „Generate”. Odată apăsător



bară de așteptare va apărea deasupra acestui buton până când serverul va returna imaginea generată cu proba virtuală.

În figura 4.8 stânga este ilustrată pagina exact după selectarea articolului vestimentar alături de un buton de selectare imagine din computerul personal. În aceeași figură dar în partea dreaptă este prezentată bara de așteptare după apăsarea butonului generate. Figura 4.9 ne prezintă rezultatul mult așteptat.

## 4.2 Dezvoltarea aplicației server

Pentru dezvoltarea aplicației server am utilizat limbajul de programare Python. Înainte de a începe implementarea propriu zisă am creat o variabilă de mediu pentru a stoca toate dependențele/pachetele instalate. Folderul `server_app` conține următoarea structură de fișiere/foldere:

- `server_app`
  - `domain`
    - `Product.py`
    - `User.py`
  - `repository`
    - `Repository.py`
  - `service`
    - `Service.py`
  - `test`
    - `test.py`
  - `app.py`

În folderul `domain` avem cele două entități ale problemei `Produs` respectiv `User`. Un `produs` conține următoarele atribute: `id`, `denumire`, `descriere`, `preț`, `url_image` respectiv `stoc` pe când un obiect de tip `user` conține: `username`, `firstname`, `lastname`, `email` respectiv `password`. `Repository`-ul, `Service`-ul și `api`-ul au acces direct la clasele din domeniu problemei.

`Api`-ul este implementat în fișierul `app.py`. În acest fișier am creat o instanță de clasă `Service` care primește un obiect de tip `Repository` ca parametru. `Api`-ul apelează funcțiile din `repository` prin intermediul acestui `service` definit în `api`. Clasa `Repository` face legătura dintre domeniul problemei și baza de date. Când clientul face un request către server, `service`-ul este apelat, iar acesta face apel mai departe la

repository. Repository-ul citește sau scrie datele în funcție de request într-o bază de date MongoDB.

În folderul test se află fisierul test.py care conține implementarea modelului de VTON (Virtual Try-On). Acest model conține un AFWN(Architecture of adaptive feature weighting model) și un ResUnetGenerator. Modulul de deformare preia vectorul de stil și hărțile caracteristicilor din imaginea persoanei și imaginea îmbrăcămintei și scoate o hartă a fluxului de aspect. Fluxul de aspect este apoi folosit pentru a deforma îmbrăcămintea. În cele din urmă, îmbrăcămintea deformată este concatenată cu imaginea persoanei și introdusă în generator pentru a genera imaginea de încercare țintă.

### 4.2.1 Cererile HTTP

#### Cererea de autentificare /login

La autentificarea clientului prin introducerea numelui de utilizator și a parolei în formular, pe partea de client se face o cerere la server pentru validarea celor două. În cazul în care username-ul și parola deja există în baza de date se va returna un json ce conține username-ul și un successLogin cu valoarea true altfel false în cazul în care username-ul și parola nu există în baza de date. Aceasta cerere este de tip get și post. Cererea de tip post necesită un corp(body) în care definim datele entității care urmează să fie verificate/create. Pentru a obține datele dintr-un request, flask ne pune la dispoziție obiectul request cu ajutorul căruia putem obține datele trimise de la client. De exemplu în aplicația noastră, pentru a obține atributul username folosim `request.json['username']`.

#### Cererea de înregistrare /register

Dacă clientul nu are cont trebuie să se înregistreze, completând numai un formular ce conține numele de utilizator, numele de familie, prenumele, adresa de email și parola. Aceste date sunt apoi trimise server-ului pentru validare. Înregistrarea clientului este foarte asemănătoare cu autentificarea clientului. Diferența este că avem nevoie de mai multe informații despre utilizator. Cu ajutorul datelor primite de la client creăm un obiect de tip User. Odată creat obiectul, îl trimitem la service, cu ajutorul funcției `createAccount` care primește ca parametru un obiect de tip User iar mai apoi trimite aceste informații mai departe către repository. Repository-ul preia obiectul User și îl salvează în baza de date.

### Cererea de produse /products

Această cerere este de tipul get. Principalul ei scop este de obține o listă cu toate produsele din baza de date. Funcția `get_all_products` returnează o listă de obiecte de tipul `Product`. Odată ce avem lista de produse trebuie să ne asigurăm că o trimitem în format JSON către client. Pentru aceasta folosim funcția `dumps` din biblioteca `json`.

### Cererea de produs după un id /getproductbyid

Dacă dorim să vizualizăm un anumit produs de pe site trebuie să obținem datele doar pentru acel produs, nu întreaga listă, așadar cu ajutorul unui id de produs trimis ca request facem o căutare în baza de date. Odată gasit, produsul este trimis către client.

### Cererea de obținere a unei imagini în funcție de id-ul acestuia /imgs/<path:path>

Toate imaginile sunt stocate pe server, așadar pentru a obține o imagine stocăm doar id-ul acesteia. În cazul nostru path este un id pentru imaginea noastră primit prin url. Imaginea este căutată într-un path specific de pe server. După ce obținem path-ul complet de pe server trimitem imaginea cu ajutorul funcției `send_file(path, mimetype)`, unde path este path-ul imaginii și mimetype este tipul de ex: `'image/jpeg'`

### Cererea de virtual dressing /virtual-dressing/<path:path>

Pentru utiliza funcționalitatea de virtual dressing trebuie să alegem o imagine din computerul nostru cu silueta noastră, odată aleasă această imagine trebuie să o trimitem către server pentru a o procesa. Accesul din server la imagine ne este oferit cu ajutorul comenzii `request.files['image']`. În url avem datele despre îmbrăcămintea aleasă. Așadar având datele necesare pentru a aplica algoritmul descris în capitolul de Machine Learning, ni se returnează o imagine de test cu îmbrăcămintea pe silueta noastră. Citim imaginea procesată și cu ajutorul unui algoritm de conversie, convertim imaginea în base64 pentru a putea fi mai ușor de preluat de către client în react.

## 4.2.2 Baza de date

Pentru stocarea datelor legate de utilizatorii aplicației am folosit MongoDB. Pentru a folosi MongoDB trebuie să instalăm mai întâi dependențele necesare cu ajutorul comenzii `'pip install pymongo'`. Conectarea la baza de date se face cu ajutorul unui

connectionString definit în clasa Repository.

Clasa repository interacționează direct cu baza de date, toate funcțiile necesare fiind implementate acolo. Pentru crearea unui colecții am folosit aplicația MongoDB Compass. În cazul aplicației noastre avem două colecții: produs si client iar aceste colecții conțin multiple documente care stochează datele legate de colecție. Asadar în colecția produs avem multiple documente ce stochează id-ul, denumirea, descrierea, pretul, url imaginii și stocul unor produse.

Atunci când un obiect de tip Repository este creat funcția loadDataBase() este apelată, se preia dintr-un fișier .env parola pentru connectionString si se creează o instanță client cu ajutorul clasei MongoClient care primește ca parametru connectionString-ul generat pentru aplicația noastră. Colecțiile fiind create din interfața grafică nu ne mai ramane decât să creăm documentele necesare aplicației.

```
class Repository:
    def __init__(self):
        print("load repo")
        self.client_mongo = self.loadDataBase()
        self.user_collection = self.getUserCollection()
        self.product_collection = self.getProductCollection()

    def loadDataBase(self):
        load_dotenv(find_dotenv())
        password = os.environ.get("MONGODB_PWD")
        connection_string = f"mongodb+srv://GherasimGeorgian:{quote(password)}+@cluster0.gckzd.mongodb.net/?retryWrites=true&w=majority"
        return MongoClient(connection_string)

    def getUserCollection(self):
        users_db = self.client_mongo.users
        return users_db.users

    def create_client(self, new_user):
        user_document = {
            "username":new_user.get_UserName(),
            "firstName":new_user.get_FirstName(),
            "lastName":new_user.get_LastName(),
            "email":new_user.get_email(),
            "password":new_user.get_Password(),
        }
        inserted_id = self.getUserCollection().insert_one(user_document).inserted_id
        print(inserted_id)
```

Figura 4.10: Secțiune de cod: Adaugarea unui client in MongoDB

Pentru adăugarea unui nou client în baza de date, se apelează funcția create\_client (self,new\_user), new\_user fiind un obiect de tip User, trebuie să cream un document nou (user\_document) cu datele clientului, iar apoi obținem o referință catre colecție și respectiv apelul funcției insert\_one care primește ca parametru documentul ce dorim sa-l adăugam în baza de date.

În figura 4.10 de mai sus puteți observa cum se face o adăugare a unui client în baza de date, respectiv crearea unui client MongoDB și un getter la colecția user. Pentru obținerea tuturor documentelor dintr-o colecție se folosește funcția find().

Dacă dorim să obținem/căutam un document de tip produs din colecția produs ce are id-ul un parametru „our\_id” vom folosi funcția `find_one("id:our_id")`.

## Capitolul 5

### Concluzii

Scopul acestei lucrări a fost acela de a satisface unele curiozități și identificarea provocărilor întâlnite în dezvoltarea unei aplicații în care sunt aplicate tehnicile de inteligență artificială, comunicarea în timp real și de a găsi soluții optime în dezvoltarea lor.

# Bibliografie

- [Aca] LEC Academy. Programare web: Ce inseamna backend si ce limbaje de programare foloseste? url:<http://www.lec-academy.ro/programare-backend-limbaj-java/> (accessed: 09.06.2022).
- [ADB] Eddy Ilg Philip Hausser Caner Hazirbas Vladimir Golkov Patrick Van Der Smagt Daniel Cremers Alexey Dosovitskiy, Philipp Fischer and Thomas Brox. Flownet: Learning optical flow with convolutional networks. in cvpr, 2015.
- [ARY] NAREN ARYA. Build an api under 30 lines of code with python and flask url:<https://impythonist.wordpress.com/2015/07/12/build-an-api-under-30-lines-of-code-with-python-and-flask/> (accessed: 01.06.2022).
- [Bat] Syeda Aimen Batool. O introducere în redux și modul în care starea este actualizată într-o aplicație redux url:<https://www.routech.ro/o-introducere-in-redux-si-modul-in-care-starea-este-actualizata-intr-o-aplicatie-redux/> (accessed: 01.06.2022).
- [Cou] Coursera. What is python used for? a beginner's guide url:<https://www.coursera.org/articles/what-is-python-used-for-a-beginners-guide-to-using-python> (accessed: 01.06.2022).
- [Duc77] Jean Duchon. Splines minimizing rotation-invariant seminorms in sobolev spaces.in constructive theory of functions of several variables, pages 85–100. springer,. 1977.
- [HSX22] Sen He, Yi-Zhe Song, and Tao Xiang. Style-based global appearance flow for virtual try-on. 2022.
- [HYL20] Xiaobao Guo Wei Liu Wangmeng Zuo Han Yang, Ruimao Zhang and Ping Luo. Towards photo-realistic virtual try-on by adaptively generating-preserving image content. 2020.
- [KB15] Diederik P Kingma and Jimmy Ba. Adam: A method for stochastic optimization. 2015.

- [ORB15] Philipp Fischer Olaf Ronneberger and Thomas Brox. U-net: Convolutional networks for biomedical image segmentation. in miccai. 2015.
- [PIE17] Tinghui Zhou Phillip Isola, Jun-Yan Zhu and Alexei A Efros. Image-to-image translation with conditional adversarial networks. 2017.
- [pyt] pythonbasics. What is flask python url:<https://pythonbasics.org/what-is-flask-python/> (accessed: 01.06.2022).
- [SZ20] Karen Simonyan and Andrew Zisserman. Tdo not mask what you do not need to mask: a parser-free virtual try-on. 2020.
- [SZ21] Yujun Shen and Bolei Zhou. Closed-form factorization of latent semantics in gans. in cvpr. 2021.
- [TIC15] Jeremie Mary Thibaut Issenhuth and Clement Calauzenes. Very deep convolutional networks for large-scale image recognition. 2015.
- [Tim] Tech With Tim. Mongodb + python 1 - crud, relationships and more url:<https://www.youtube.com/watch?v=upszdgutpzct=1287s> (accessed: 01.06.2022).
- [TKA19] Samuli Laine Tero Karras and Timo Aila. A style-based generator architecture for generative adversarial networks. in cvpr. 2019.
- [XHD18] Zhe Wu Ruichi Yu Xintong Han, Zuxuan Wu and Larry S Davis. Viton: An image-based virtual try-on network. in cvpr. 2018.
- [XHS19] Weilin Huang Xintong Han, Xiaojun Hu and Matthew R Scott. Clothflow: A flow-based model for clothed person generation. 2019.
- [YGL21] Ruimao Zhang Chongjian Ge Wei Liu Yuying Ge, Yibing Song and Ping Luo. Disentangled cycle consistency for highlyrealistic virtual try-on. in cvpr. 2021.